## 窒化チタン/酸化チタン積層膜を用いた結晶シリコンへテロ構造の 電気的特性向上

Improvement of electrical properties of crystalline silicon heterostructures

using titanium nitride/titanium oxide stacked films

名大院工<sup>1</sup>, <sup>0</sup>井上 徹哉<sup>1</sup>, 後藤 和泰<sup>1</sup>, 黒川 康良<sup>1</sup>, 宇佐美 徳隆<sup>1</sup>

Graduate School of Eng., Nagoya Univ. 1, OT. Inoue1, K. Gotoh1, Y. Kurokawa1, N. Usami1

E-mail: inoue.tetsuya@i.mbox.nagoya-u.ac.jp

【研究背景】原子層堆積法(ALD)で作製された酸化チタン(TiO<sub>y</sub>)は、ヘテロ接合型結晶シリコン(SHJ)太陽電池のパッシベーションかつキャリア選択層材料として注目されている。TiO<sub>y</sub>のバンドギャップは約 3.45 eV と従来の SHJ 太陽電池に用いられている水素化アモルファスシリコンの 1.7 eV と比較し大きく、寄生吸収を大きく低減できる[1]。また、TiO<sub>y</sub>/結晶シリコン(c-Si)の理想的なヘテロ界面は、伝導帯オフセットが小さく(<0.05 eV)、価電子帯オフセットが大きい(<2.0 eV)ため優れた電子選択性が期待される[2]。さらに我々は、TiO<sub>y</sub>/c-Si 界面に低密度の酸化シリコン(SiO<sub>x</sub>)中間層を挿入することにより、表面パッシベーション性能の向上を報告した[3]。しかし、金属電極製膜による TiO<sub>y</sub>のパッシベーション性能の大幅な低下が課題となっている。この低下は、TiO<sub>y</sub>の還元や金属の c-Si への拡散に起因すると考えられる。本研究では、これらを抑制することを目的として、Al/TiO<sub>y</sub>界面に TiN<sub>z</sub>を挿入し、電気的特性に及ぼす影響を調査した。

【実験方法】両鏡面仕上げ、Fz-n型 c-Si(100)基板を用いた。基板表面の自然酸化膜を 5% HF で除去し、 $HCl:H_2O_2:H_2O=1:1:4$  の混合溶液に基板を浸漬させ、約 1 nm 厚の  $SiO_x$  膜を形成した。次に、ALD 法を用いて  $TiO_y$  膜を製膜した。その後、直流スパッタリング法で  $TiN_z$  を、真空蒸着法で Al を製膜した。フォトルミネッセンス(PL)法を用いてこれらの試料の 1 秒間当たりの PL カウント数( $I_{PL}$ )を測定した。また、接触抵抗率( $p_c$ )測定のため、裏面に  $n^+$ 層を形成した Cz-n型 c-Si(100)基板を用いた。 $SiO_x$ 、 $TiO_y$ 、 $TiN_z$  を同様に製膜後、真空蒸着法を用いて裏面に Au-Sb 電極を製膜した。次に、275 °C で 3 分間の熱処理を行った。その後、表面に Al 電極を形成した。

【結果と考察】図 1 は  $TiO_y/SiO_x/c$ - $Si/SiO_x/TiO_y/TiN_z/Al$  構造と  $TiO_y/SiO_x/c$ - $Si/SiO_x/TiO_y/Al$  構造の PL イメージである。 $TiN_z$ を用いることで、より大きな PL カウント数が得られた。これは, $TiN_z$ の製膜により Al の固相内拡散と  $TiO_y$  の還元が抑制されたためだと考えられる。また、 $Al/TiN_z/TiO_y/SiO_x/n$ -Si と  $Al/TiN_z/TiO_y/SiO_x/n$ -Si 構造の  $\rho_c$  は、それぞれ 30.9 と 28.3  $m\Omega$ · $cm^2$  であり、 $TiN_z$  の製膜による  $\rho_c$  の顕著な増大はなかった。これらの結果から  $TiN_z$  中間層によって低い接触抵抗を保ちつつ、金属製膜によるパッシベーション性能の低下を抑制できることがわかった。

【謝辞】本研究は NEDO の支援を受けて行われた。

【参考文献】[1] J. Bullock *et al.*, ACS Energy Lett. **3**, 508-513 (2018). [2] X. Yang *et al.*, Adv. Mater. **28**, 5891-5897 (2016). [3] T. Mochizuki *et al.*, Adv. Mater. Interfaces **6**, 1801645 (2018).

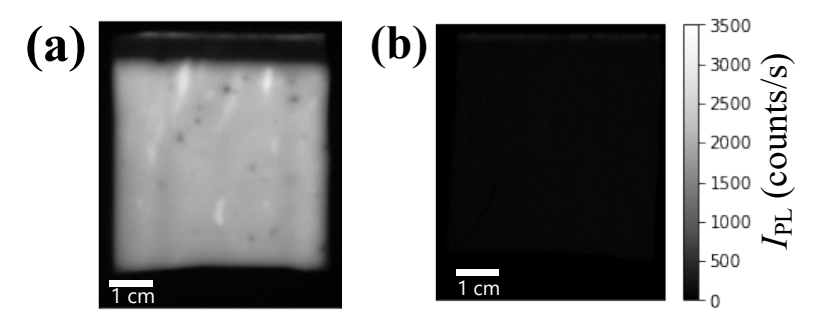


Figure 1. PL images of the heterostructures (a) with and (b) without the  $TiN_z$  layer after annealing at 275 °C for 3 min.